

# Chaos in klassischer (Hamilton'scher) Dynamik

Arbeitsgruppe III: Zufall und Komplexität in der Physik

Philipp Wilhelm Klein

## Inhalt

### 1 Die Poincaré Abbildung

#### 1.1 Die "Surface of Section"

**Vorbemerkung.** Im folgenden werden wir der Einfachheit bzw. Anschaulichkeit halber integrable, Hamilton'sche Systeme mit 2 Freiheitsgraden betrachten.

Grundsätzlich ist die Veranschaulichung dynamischer (Hamilton'scher) Systeme aufgrund der Dimension des Phasenraums (dieser ist für ein System mit  $n$  Freiheitsgraden  $2n$ -dimensional) nicht möglich. Für ein konservatives, dynamisches System mit 2 Freiheitsgraden "lebt" die Hamilton-Funktion auf einer 3-dimensionalen Hyperebene im 4-dimensionalen Phasenraum (siehe Abb. ??). Anstatt eine Trajektorie (die in der Hyperebene liegt) als

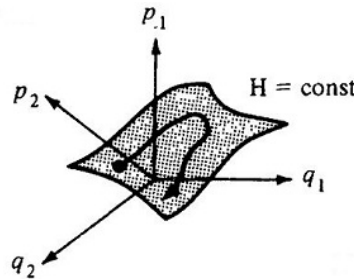


Abb. 1: 3-dim Hyperebene im 4-dim Phasenraum, Quelle: [?]

Ganzes zu studieren, fixiert man einen Parameter ( $q_2 = 0$ ) und betrachtet Transversalschnitte der Trajektorie mit einer 2-dim. Ebene im Phasenraum (siehe Abb. ??). Dies motiviert folgenden Definition.

**Definition.** Die *Surface of Section* (SOS) ist unter den obigen Voraussetzungen die Menge

$$SOS = \{(q, p) \in \mathbb{R}^4 \mid q_2 = 0, H(q, p) = E\}$$

#### 1.2 Die Poincaré Abbildung

**Definition.** Sei  $\varphi$  eine Trajektorie mit den Anfangsbedingungen  $(q_0, p_0) \in SOS$ , die nach der Reihe die Punkte  $(q_1, p_1), (q_2, p_2), \dots \in SOS$  durchläuft. Dann ist die *Poincaré Abbildung*  $\mathcal{P}$  definiert durch

$$\mathcal{P} : (q_i, p_i) \mapsto \mathcal{P}_i(q_0, p_0) = (q_{i+1}, p_{i+1})$$

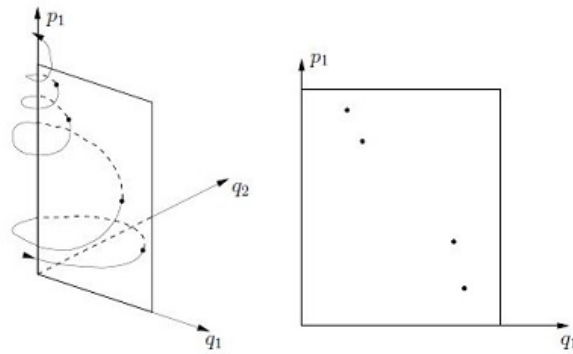


Abb. 2: Surface of Section (SOS), Quelle: [?]

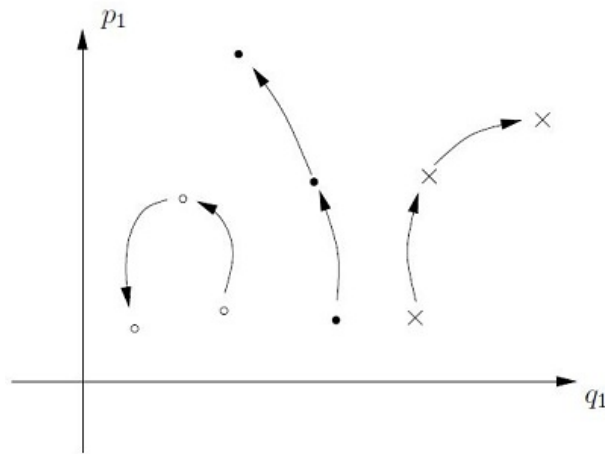


Abb. 3: Die Poincaré Abbildung für drei verschiedene Startpunkte einer Trajektorie auf der SOS, Quelle: [?]

Eine wichtige Aussage über die Entwicklung von Transversalschnitten von Flußbildern in Hamilton'schen Systemen macht der folgende Satz.

**Satz.** (Poincaré-Cartan) Die Poincaré Abbildung ist Flächenerhaltend. Genauer: Sei  $\sigma_0 \subset SOS$  in der  $q_1 p_1$ -Ebene. Sei  $\sigma_i = \mathcal{P}_i(\sigma_0)$  die Menge, die nach  $i$ -facher Anwendung der Poincaré Abbildung  $\mathcal{P}$  auf  $\sigma_0$  entsteht. Dann gilt:

$$|\sigma_i| = |\sigma_0|$$

## 2 Fixpunkte

**Definition.** Ein Fixpunkt der Poincaré Abbildung  $\mathcal{P}$  ist definiert durch

$$\mathcal{P}(z^*) = z^*$$

mit  $z^* = (q^*, p^*) \in SOS$ .

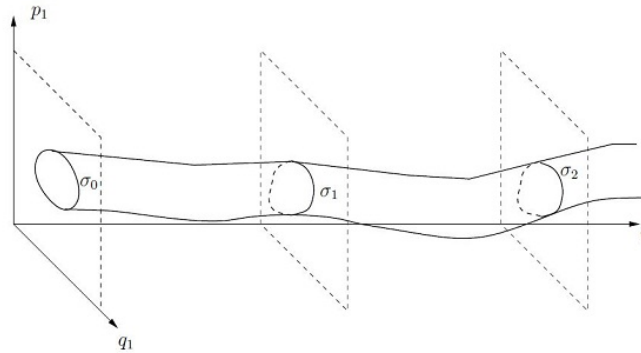


Abb. 4: Veranschaulichung des Satzes von Poincaré-Cartan: Es gilt  $|\sigma_0| = |\sigma_1| = |\sigma_2| = \dots$ , Quelle: [?]

**Linearisierung in einer Fixpunktumgebung.** Sei  $z^* \in SOS$  Fixpunkt der Poincaré Abbildung  $\mathcal{P}$ . Dann lässt sich  $\mathcal{P}(z^*)$  in einer Umgebung von  $z^*$  approximieren durch

$$\mathcal{P}(z^* + \delta z) = z^* + d\mathcal{P}(z^*) \cdot \delta z + \mathcal{O}(\delta z^2),$$

wobei  $\mathcal{M} \equiv \mathcal{M}(z^*) = d\mathcal{P}(z^*)$  die Jakobimatrix der Abbildung  $\mathcal{P}$  ist.

**Klassifikation von Fixpunkten.** Die Eigenschaften des Fixpunktes werden bestimmt durch die Eigenwerte der Matrix  $\mathcal{M}$ . Also führt  $\det(\mathcal{M} - \lambda) = 0$  zu

$$\lambda^2 - \lambda \operatorname{tr}(\mathcal{M}) + \det(\mathcal{M}) = 0,$$

wobei  $\det(\mathcal{M}) = 1$  sein muss, da  $\mathcal{P}$  flächenerhaltend ist. Die Eigenwerte lauten also

$$\lambda_{1,2} = \frac{1}{2} \operatorname{tr}(\mathcal{M}) \pm \frac{1}{2} \sqrt{\operatorname{tr}(\mathcal{M})^2 - 4},$$

und können in Abhängigkeit von  $\operatorname{tr}(\mathcal{M})$  klassifiziert werden. Es ergeben sich folgende Fälle:

- (i)  $|\operatorname{tr}(\mathcal{M})| < 2$ : Die Eigenwerte sind komplexe Zahlen und lassen sich mithilfe der Exponentialfunktion ausdrücken, d.h.  $\lambda_{1,2} = \exp(\pm i\beta)$  mit  $\beta \in (0, \pi)$ . In diesem Fall ist  $\mathcal{M}$  eine Rotationsmatrix, d.h. in der direkten Umgebung des Fixpunktes  $z^*$  verhält sich  $\mathcal{P}$  wie eine Rotationsabbildung. Damit ist das dynamische System in der Umgebung von  $z^*$  stabil, siehe Abb. ??(a). Man spricht von einem *elliptischen Fixpunkt*.
- (ii)  $|\operatorname{tr}(\mathcal{M})| > 2$ : Die Eigenwerte sind reel und haben die Form  $\lambda_1 = \lambda$  bzw.  $\lambda_2 = \frac{1}{\lambda}$ . In diesem Fall ergibt sich ein *hyperbolischer Fixpunkt*, siehe Abb. ??(b). Dieser Fixpunkt ist damit instabil.
- (iii)  $|\operatorname{tr}(\mathcal{M})| = 2$ : Dieser Fall kennzeichnet den Grenzfall zwischen Stabilität bzw. Instabilität.

**Beispiel.** Wir betrachten ein System mit folgender Hamiltonfunktion:

$$H = \frac{p^2}{2} + (q^2 - 1)^2.$$

Das Potential  $V(q)$  veranschaulicht Abb. ??a. Das System hat drei Fixpunkte: zwei stabile Minima ( $s$ ) (elliptisch) und ein instabiles Maximum ( $i$ ) (hyperbolisch). Dies ist zunächst anhand der Form des Potentials anschaulich klar und wird durch das Phasenraumbild belegt, siehe Abb. ??b.

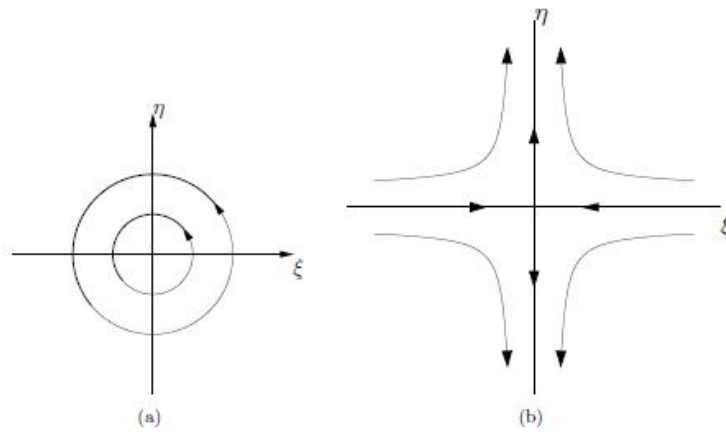


Abb. 5: Verhalten dynamischen Systems in der Nähe eines elliptischen (a) bzw. hyperbolischen (b) Fixpunktes, Quelle: [?]

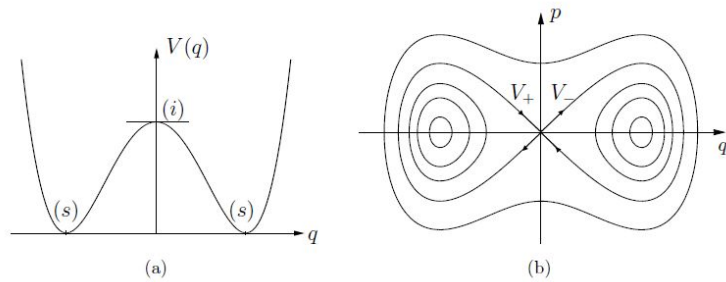


Abb. 6: (a) stellt qualitativ das Potential dar, (b) zeigt das zugehörige Phasenraumbild, Quelle: [?]

### 3 Der Satz von Poincaré-Birkhoff

**Erinnerung.** (KAM-Theorem) Phasenraumkurven mit irrationaler Rotationszahl (d.h.  $\frac{\omega_1}{\omega_2} \equiv \alpha \in \mathbb{R} \setminus \mathbb{Q}$ ) weichen für hinreichend kleine Störungen nur leicht von ihrer ungestörten Bahn ab (solange die Bedingung  $\det \left( \frac{\partial \omega(J)}{\partial J} \right)_{J \approx I} \neq 0$  erfüllt ist). Was irrationale Rotationszahl bedeutet, veranschaulicht Abb. ???. Eine Aussage über Trajektorien mit rationaler Rotationszahl ( $\alpha \in \mathbb{Q}$ ), siehe Abb. ???, liefert im Folgenden der Satz von Poincaré-Birkhoff.

**Beobachtung.** Sei  $H(I_1, I_2, \Theta_1, \Theta_2) = H_0(I_1, I_2) + \epsilon H_1(I_1, I_2, \Theta_1, \Theta_2)$  die Hamiltonfunktion, bestehend aus einem integrablen Teil  $H_0$ , der mit Wirkungs-Winkel-Variablen beschreibbar ist und einem (kleinen) Störterm  $\epsilon H_1$ . Eine ungestörte Trajektorie verläuft auf einem Torus im 4-dimensionalen Phasenraum. Ihre Poincaré-Abbildung hat die Form  $\Theta'_1 = \Theta_1 + 2\pi \cdot \alpha(I_1)$  und  $I_1$  bleibt unverändert, d.h.  $I'_1 = I_1$ . Dabei soll  $\alpha$  gleichmäßig von  $I_1$  abhängen und es gelte  $\alpha = \frac{m}{n}$ , wobei  $m$  und  $n$  teilerfremde ganze Zahlen sind.

Sei nun  $\mathcal{C} \subset \text{SOS}$  ein  $\mathcal{P}$ -invarianter Kreis in der SOS, d.h. es gilt  $\mathcal{P}(\mathcal{C}) = \mathcal{C}$ , wobei das dynamische Verhalten der Punkte in  $\mathcal{C}$  durch  $\alpha(I_1)$  beschrieben wird. Wenn wir nun  $I_1$  größer oder kleiner wählen, finden wir Kreise  $\mathcal{C}^+$ , bzw.  $\mathcal{C}^-$ , die außerhalb bzw. innerhalb von  $\mathcal{C}$  liegen und irrationale Rotationszahlen haben. Da  $\alpha$  gleichmäßig von  $I_1$  abhängt, rotiert, in Bezug auf  $\mathcal{C}$ ,  $\mathcal{C}^+$  im Uhrzeigersinn und  $\mathcal{C}^-$  gegen den Uhrzeigersinn wenn man

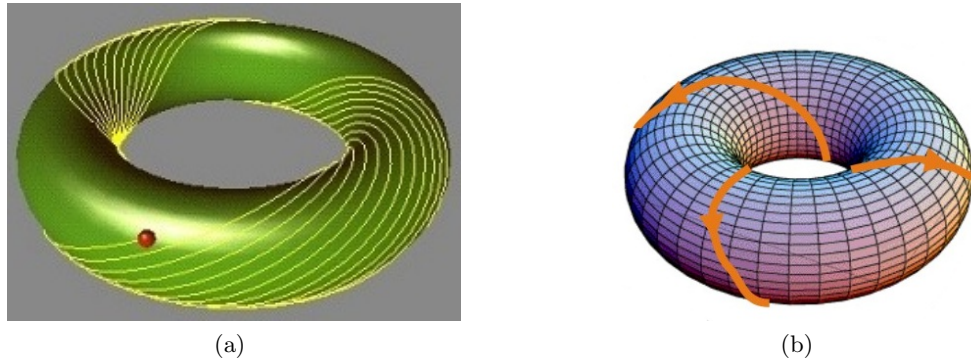
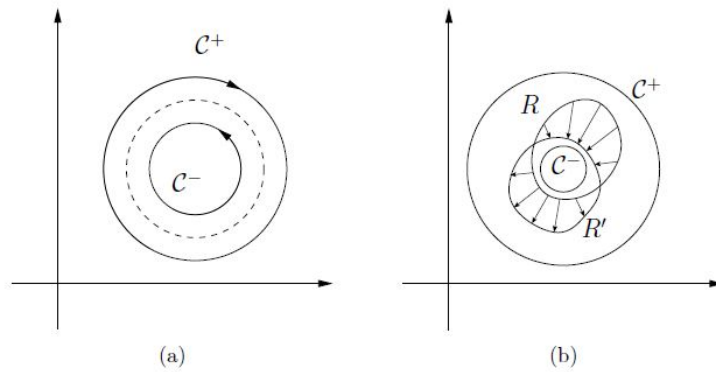


Abb. 7: Trajektorie auf Torus: mit irrationaler (a) bzw. rationaler (b) Rotationszahl

ihre Punkt  $n$ -fach unter  $\mathcal{P}$  iteriert, siehe Abb. ??a.

Abb. 8: (a) zeigt die Kreise  $\mathcal{C}$  (gestrichelt), sowie außer- bzw. innerhalb  $\mathcal{C}^+$  und  $\mathcal{C}^-$  auf der SOS, Quelle: [?]

Nun betrachten wir die Veränderungen unter Einfluss des Störtherms  $\epsilon H_1$ . Die zum gestörten System gehörige Poincaré Abbildung bezeichnen wir mit  $\mathcal{P}^\epsilon$ . Nach dem KAM-Theorem wirkt sich der Störtherm auf  $\mathcal{C}^+$  und  $\mathcal{C}^-$  kaum aus, d.h. sie sind invariant unter  $\mathcal{P}^\epsilon$ . Wir nehmen außerdem an, dass  $\epsilon$  so klein gewählt ist, dass sich der relative Drehgeschwindigkeit unter  $\mathcal{P}_n^\epsilon$  nicht (bzw. kaum) ändert. Daraus folgt aber direkt schon, dass für jeden Radius zwischen den Radien von  $\mathcal{C}^+$  und  $\mathcal{C}^-$  ein Punkt existiert, dessen Winkelkorrdinate  $\Theta_1$  unter  $\mathcal{P}_n^\epsilon$  erhalten bleibt. Für jeden Radius aufgetragen formen diese Punkte eine Kurve  $\mathcal{R}$ , siehe Abb. ??b. In Abb. ??b ist außerdem die Kurve  $\mathcal{R}' = \mathcal{P}_n^\epsilon(\mathcal{R})$  eingezeichnet. D.h. nach  $n$ -facher Anwendung von  $\mathcal{P}^\epsilon$  sind genau die Punkte Fixpunkte von  $\mathcal{P}^\epsilon$ , die sich in der Menge  $\mathcal{R} \cap \mathcal{R}'$  befinden. Diese Fixpunkte treten immer in Paaren auf.

Dies führt schlussendlich auf folgenden Satz.

**Satz.** (Poincaré-Birkhoff) Sei  $\mathcal{C} \subset \text{SOS}$  Kurve eines ungestörten Hamilton'schen Systems mit Rotationszahl  $\alpha = \frac{m}{n}$ , die Fixpunkte von  $\mathcal{P}_n$  sind, d.h.:

$$\forall c \in \mathcal{C} : \mathcal{P}_n(c) = c.$$

Unter Einfluss eines Störtherms bleiben dann

$$2kn, \quad k \in \mathbb{N},$$

Fixpunkte von  $\mathcal{P}$  erhalten.

## 4 Lyapunov-Exponenten, Stabilitätskriterien

### 4.1 Der maximale Lyapunov-Exponent

**Beispiel.** Wir betrachten wiederum ein Hamilton'sches System mithilfe einer Poincaré Abbildung  $\mathcal{P}$  auf einer SOS. Sei  $z^* \in SOS$  ein hyperbolischer Fixpunkt. Wir möchten die Matrix  $\mathcal{M}_n(z^*)$  der Abbildung  $\mathcal{P}_n$  bestimmen. Diese ergibt sich zu  $\mathcal{M}_n(z^*) = \mathcal{M}^n(z^*)$ . Seien nun  $\lambda > 1$  und  $\frac{1}{\lambda} < 1$  Eigenwerte von  $\mathcal{M}$ , dann sind  $\lambda^n$  und  $\frac{1}{\lambda^n}$  Eigenwerte von  $\mathcal{M}_n$ . Sei weiterhin  $\mathcal{B}' = \{v_1, v_2\}$  eine Basis aus Eigenvektoren (jeweils zu den Eigenwerten  $\lambda_1$  bzw.  $\lambda_2$ ).

Wir betrachten nun das Verhalten von  $\xi = z^* + \delta z$ , d.h. eines Punktes in der Fixpunktumgebung, unter der Abbildung  $\mathcal{P}_n$ . Wenn wir noch  $\delta z$  bezüglich der Basis  $\mathcal{B}'$  durch  $\delta z = \mu_1 v_1 + \mu_2 v_2 \equiv \delta z_1 + \delta z_2$  ausdrücken, ergibt sich in linearer Näherung

$$\begin{aligned} \mathcal{P}_n(\xi) &= z^* + \mathcal{M}_n \cdot \delta z + \mathcal{O}(\delta z^2) \\ &= z^* + \lambda^n \cdot \delta z_1 + \frac{1}{\lambda^n} \cdot \delta z_2 + \mathcal{O}(\delta z^2) \\ &= z^* + e^{n \ln(\lambda)} \cdot \delta z_1 + e^{-n \ln(\lambda)} \cdot \delta z_2 + \mathcal{O}(\delta z^2). \end{aligned}$$

Für hinreichend großes  $n$  ist  $e^{-n \ln(\lambda)}$  entsprechend klein und kann vernachlässigt werden. Damit wird der Abstand eines Punktes  $\xi$  zum Fixpunkt  $z^*$  nach  $n$ -facher Anwendung von  $\mathcal{P}$  durch  $\|e^{n \ln(\lambda)} \cdot \delta z_1\|$  bestimmt.

Man nennt  $\pm \ln(\lambda)$  die *Lyapunov-Exponenten* der Abbildung  $\mathcal{P}$  im Punkt  $z^*$ .

**Bemerkung.** Das obige Beispiel zeigt, dass zur Überprüfung der Stabilität von Trajektorien der größte Lyapunov-Exponent maßgebend ist. Man nennt diesen auch *maximalen Lyapunov-Exponenten*. Er gibt die Rate an mit der sich zwei Trajektorien voneinander entfernen (bzw. aneinander annähern). Das motiviert folgende Definition:

**Definition.** (maximaler Lyapunov-Exponent) Der maximale Lyapunov-Exponent  $\sigma(z)$  der Poincaré Abbildung  $\mathcal{P}$  (für eine Anfangsbedingung  $z$ ) ist definiert durch

$$\sigma(z) \equiv \lim_{n \rightarrow \infty} \lim_{\delta z \rightarrow 0} \frac{1}{n} \ln \left( \frac{\|\mathcal{P}_n(z + \delta z) - \mathcal{P}_n(z)\|}{\|\delta z\|} \right).$$

### 4.2 Das Lyapunov-Spektrum

**Bemerkung.** Möchte man Wachstumsraten für die Abstände von Trajektorien in allen Phasenraumrichtungen betrachten, so ist es sinnvoll, nicht nur einen, d.h. den maximalen, Lyapunov-Exponenten zu berechnen, sondern jeweils einen für jede Raumrichtung.

**Definition.** (Lyapunov-Spektrum für 2-dim. Poincaré Abbildung  $\mathcal{P}$ ) An das Beispiel zu Anfang von Kapitel 4.1 anknüpfend, ist das Lyapunov Spektrum gegeben durch

$$\begin{aligned} \sigma_{1,2}(z) &\equiv \lim_{n \rightarrow \infty} \lim_{h \rightarrow 0} \frac{1}{n} \ln \left( \frac{\|\mathcal{P}_n(z + h v_{1,2}) - \mathcal{P}_n(z)\|}{|h|} \right) \quad (*) \\ &= \ln(\lambda_{1,2}). \end{aligned}$$

**Bemerkung.** Das Beispiel aus Kapitel 4.1 bezog sich auf einen hyperbolischen Fixpunkt. In dessen Nähe stimmt das Lyapunov-Spektrum mit den Eigenwerten der Matrix  $\mathcal{M}$  überein. Das Lyapunov-Spektrum bezogen auf die Zeitentwicklungsfunktion  $\mathcal{H}_t$  des gesamten dynamischen Systems ist analog definiert.

## Literatur

- [1] S. Wimberger, *Nonlinear Dynamics and Quantum Chaos* (2012)
- [2] M. Tabor, *Chaos and Integrability in Nonlinear Dynamics* (John Wiley Sons, 1989)
- [3] A.J. Lichtenberg, M.A. Lieberman, *Regular and Chaotic Dynamics* (Springer Verlag, Berlin, 1992)
- [4] Science-Blogs: <http://www.scienceblogs.de/astrodicticum-simplex/2009/05/chaotische-systeme-teil-2-der-raum-als-donut.php>